

$$\frac{A}{16} \quad \frac{A}{15/5} \quad \frac{A}{12/5}$$

A

A

$$N = \frac{a}{E_1 - a} \cdot \frac{E_1}{a} = \frac{a}{a - A^{\gamma/\lambda} (0.105 e^{19/11} + 0.015)^2}$$

a

برانگیخته و کم انرژی هسته‌ها استوار است. مطالعه چگالی ترازهای هسته در انرژی‌های برانگیختگی پایین از چندین جنبه مورد توجه است، از جمله آزمودن مدل‌های ساختار هسته به کمک مقایسه بین چگالی ترازهای تجربی و تعیین سازوکار واکنش و محاسبه سطح مقطع آن [۱-۳]. چگالی تراز را می‌توان در انرژی‌های برانگیختگی پایین به وسیله شمارش مستقیم حالات برانگیخته مشاهده شده تعیین کرد. اما این روش به دقت و کامل بودن داده‌های موجود وابسته است. با این وجود ما اغلب

چگالی تراز هسته‌ای از اهمیت ویژه‌ای در فیزیک هسته‌ای برخوردار است. این کمیت توزیع ترازهای هسته را پیشگویی کرده و در نظریه واکنش‌های هسته‌ای نقش مهمی هم در تعیین سازوکار واکنش و هم در محاسبات مدل آماری سطح مقطع آنها (مثلًاً نظریه آماری هاسر- فشباخ) ایفا می‌کند. بخش عمده دانش نوین ما در مورد خواص هسته‌ها، بر پایه مطالعه حالات

۱. nuclear level density

اصلاحات پدیده شناختی مختلفی بر روی فرمول ساده بتراز استفاده در محاسبات تجربی و به منظور تبیین یک توصیف نظری رضایت بخش از چگالی ترازهای هسته که توانایی توضیح و تولید خصوصیات اساسی آن از جمله وابستگی چگالی تراز به ساختار پوسته‌ای و ظهور اثر زوج – فرد، تغییرات جزئی آن با انرژی و توزیع اسپین در هسته برانگیخته را داشته و قادر به توصیف عمومی هسته در نزدیکی حالت پایه و در انرژی‌های برانگیختگی بالا باشد، پیشنهاد شده است [۵ و ۷]. در این اصلاحات، شکل تابعیت یکسانی برای وابستگی به انرژی، مطابق آنچه در مورد ترازهای هم فاصله در دسترس است، در نظر گرفته می‌شود و تعدادی پارامتر آزاد برای برآذش با نتایج تجربی تعریف می‌شوند. در مدل گاز فرمی جابه‌جا شده نیوتون-کمرون^۱ [۸ و ۹] اثرات زوج – فردی به وسیله یک جابه‌جایی انرژی زوجیت وارد می‌شود و به کاهش انرژی برانگیختگی مؤثر هسته‌های زوج-زوج و A -فرد و در نتیجه چگالی تراز کمتری برای آنها می‌انجامد. تنها پارامتر قابل تنظیم در این مدل پارامتر چگالی تراز a می‌باشد. این مدل تنها قادر به توصیف نتایج تجربی در بازه کوچکی از انرژی، حول انرژی بستگی نوترون است چون بیشتر داده‌های تجربی از تشیدهای نوترون استخراج می‌شوند. اما بروندیابی مقادیر چگالی تراز به نواحی پر انرژی یا کم انرژی مجاز نیست و این بدین معنی است که اثرات پوسته‌ای به طور مناسب به کار گرفته نشده‌اند.

برای حل این مسئله، گیلبرت و کمرون^۲ [۱۰] فرمول دیگری پیشنهاد کردند (یک فرمول چهار- پارامتری) که فرمول گاز فرمی جابه‌جا شده را در انرژی برانگیختگی بالا، با یک فرمول دمای ثابت^۳ برای انرژی‌های پایین‌تر ترکیب می‌کرد. با برآذش چهار ثابت در هر دو ناحیه، داده‌های تجربی به خوبی حاصل می‌شدند. روش ساده دیگری، که ما نیز در اینجا به آن می‌پردازیم، مدل گاز فرمی پس - جابه‌جا شده^۴ است. در این مدل هم جابه‌جایی

به چگالی تراز هسته‌های ناپایداری، که به روش تجربی قابل تعیین نیستند، نیازمندیم. برای چنین هسته‌هایی باید به چگالی ترازهای حاصل از مدل‌های نظری یا بروندیابی از هسته‌هایی که اطلاعات تجربی آنها موجود است اعتماد کنیم [۴]. خصوصیت بر جسته تجربی چگالی ترازهای هسته افزایش بی‌نهایت سریع آنها با انرژی برانگیختگی است. می‌دانیم که فاصله نوعی بین اولین ترازهای برانگیخته بالای حالت پایه در عناصر با جرم متوسط و سنگین از مرتبه ۱۰ تا چند ده مگا الکترون ولت است. همچنین با افزایش انرژی برانگیختگی به سمت ناحیه MeV در هم آمیختگی طیف‌های هسته‌ای به شدت افزایش یافته و فاصله بین ترازها در مقایسه با ترازهای نزدیک به حالت پایه به طور قابل ملاحظه‌ای کاهش می‌یابد. این کاهش بر حسب انرژی تقریباً نمایی است و یا نسبت عکس با توان نسبتاً بالایی از انرژی برانگیختگی دارد. در ناحیه عناصر سنگین فاصله تشیدهای نوترون حدود ۴ تا ۵ مرتبه کمتر از فاصله ترازها در انرژی‌های برانگیختگی پایین است، یعنی حدوداً تا میلیون‌ها تراز بر MeV. این تأیید مجددی بر افزایش ذاتاً نمایی چگالی تراز با انرژی برانگیختگی، و بنابراین مطالعه آن با استفاده از روش‌های آماری است [۵]. مدل آماری از نظر کیفی قادر به پیشگویی قسمت عمده سطح مقطع واکنش‌های هسته‌ای می‌باشد. پژوهش‌های زیادی هم برای یافتن پیشگویی‌های ساختار هسته و هم برای درک و استخراج خواص هسته‌ای مورد نیاز در مدل آماری و وابستگی‌های آن انجام شده است. با شناخت این وابستگی‌های اساسی به راحتی می‌توان آنها را در شکلی پارامتری شده به کار برد [۳]. یک مورد مهم مطالعه رفتار چگالی تراز هسته در چارچوب مدل گاز فرمی پس جابه‌جا شده است.

برای اولین بار در سال ۱۹۳۶ بت مدل گاز فرمی بدون برهم‌کنش را بررسی کرد. تا وقتی رفتار نوکلئون‌ها به صورت گاز فرمی در نظر گرفته شود وابستگی انرژی چگالی تراز را می‌توان با چند پارامتر توصیف کرد. رفتار این پارامترها را به واسطه حقایق فیزیکی شناخته شده و یا با استخراج آنها از محاسبات مختلف می‌توان تعیین کرد [۶].

^۱. Newton-Cameron

^۲. Gilbert and Cameron

^۳. constant temperature formula

^۴. back-shifted Fermi gas modeL

در فیزیک آماری به عنوان تابع پارش آنسامبل کانونی بزرگ شناخته می‌شود. بت خواص آماری هسته‌های اتمی را به وسیله نمایش هسته‌های برانگیخته به عنوان یک گاز فرمی با ذرات بدون برهم‌کنش شامل دو نوع ذره، یعنی پروتون و نوترون، توصیف کرد. مجموع آماری ذرات فرمی بدون برهم‌کنش را با استفاده از تقریب طیف پیوسته به شکل زیر نوشته می‌شود

$$\ln Q(\beta, \alpha_N, \alpha_Z) = \int_0^\infty g(\varepsilon_N) \ln(1 + e^{\alpha_N - \beta \varepsilon_N}) d\varepsilon_N \\ + \int_0^\infty g(\varepsilon_Z) \ln(1 + e^{\alpha_Z - \beta \varepsilon_Z}) d\varepsilon_Z, \quad (4)$$

که در آن ε انرژی سطوح تک ذره، g درجه تبهگی سطوح است، و β و α به طور مستقیم با دمای ترمودینامیکی $(\beta = \frac{1}{t})$ و پتانسیل شیمیایی سیستم $(\alpha = \frac{\lambda}{t})$ مربوط می‌باشند. انتگرال فوق با استفاده از فرض فواصل یکسان برای حالت‌های تک ذره و تقریب نقطه زینی محاسبه می‌شود

$$\ln Q(\beta, \alpha_{\circ N}, \alpha_{\circ Z}) = \alpha_{\circ N} N + \alpha_{\circ Z} Z \\ - \beta_{\circ} (E_{\circ N} + E_{\circ Z}) + \frac{g_{\circ N} \alpha_{\circ N}}{2 \beta_{\circ}} \\ + \frac{\beta_{\circ} g_{\circ N} \varepsilon_{\circ N}}{2} - \alpha_{\circ N} \varepsilon_{\circ N} g_{\circ N} \\ + \frac{g_{\circ Z} \alpha_{\circ Z}}{2 \beta_{\circ}} + \frac{\beta_{\circ} g_{\circ Z} \varepsilon_{\circ Z}}{2} - \alpha_{\circ Z} \varepsilon_{\circ Z} g_{\circ Z} \\ + \frac{\pi^2 g_{\circ N}}{6 \beta_{\circ}} + \frac{\pi^2 g_{\circ Z}}{6 \beta_{\circ}} \quad (5)$$

در این رابطه، N تعداد کل نوترون‌ها، Z تعداد کل پروتون‌ها و $E_{\circ Z}$ و $E_{\circ N}$ انرژی حالت پایه آنها به صورت زیر تعریف می‌شوند

$$N = \int_0^{\varepsilon_{\circ N}} g(\varepsilon_N) d\varepsilon_N, \quad E_{\circ N} = \int_0^{\varepsilon_{\circ N}} \varepsilon_N g(\varepsilon_N) d\varepsilon_N, \quad (6)$$

$$Z = \int_0^{\varepsilon_{\circ Z}} g(\varepsilon_Z) d\varepsilon_Z, \quad E_{\circ Z} = \int_0^{\varepsilon_{\circ Z}} \varepsilon_Z g(\varepsilon_Z) d\varepsilon_Z,$$

انتگرال‌ده در فرمول ابتدایی چگالی سطحی (۲) برای مقادیر معینی از متغیرهای β ، $\alpha_{\circ Z}$ و $\alpha_{\circ N}$ یک اکسترمم دارد. با به کارگیری تقریب نقطه زینی، مکان نقطه اکسترمم با معادلات زیر تعیین می‌شود

انرژی و هم پارامتر چگالی تراز a به صورت پارامترهای قابل تنظیم در نظر گرفته می‌شوند که برآذش مناسی را با چگالی ترازهای تجربی، حول ناحیه وسیع‌تری از انرژی برانگیختگی حاصل می‌کند [۱۱]. این مدل یک شکل اصلاح شده از فرمول‌بندی تحلیلی اولیه بت برای یک سیستم با فرمیون‌های بدون برهم‌کنش محصور در حجم هسته با حالت‌های تک ذره‌ای هم فاصله است [۱۲]. این مدل ساده جزئیات زیادی از برهم‌کنش‌های هسته‌ای را در بر نمی‌گیرد. بنابراین پارامترهای تجربی تعیین شده به وسیله برآذش داده‌های تجربی، شامل متغیرهای پیچیده‌ای هستند که به طور ضمنی اثرات پوسته‌ای، زوجیت و ... را منعکس می‌کنند. برای بیشتر روش‌های برونویابی معتبر، توانایی منظور کردن چنین وابستگی‌هایی و به حساب آوردن آنها از روشهای ساده امر بسیار مهمی است [۱۳]. در سطح میکروسکوپیکی نیز پیشرفت‌های قابل ملاحظه‌ای در روش‌های نظری در به حساب آوردن اثراتی مانند اثرات پوسته‌ای و همبستگی‌های زوجیت حاصل شده است [۱۴] اما استفاده از آنها در کاربردهای عملی نسبتاً پیچیده است.

مدل گاز فرمی به عنوان یکی از ساده‌ترین روش‌های تحلیل چگالی تراز هسته‌های برانگیخته مدت‌ها است در آنالیز و طبقه‌بندی داده‌های تجربی در زمینه خواص آماری هسته‌ها استفاده شده و بسیار کارآمد است. چگالی حالت برانگیخته هسته‌ها به عنوان تابعی از انرژی و تعداد ذرات به صورت عمومی زیر تعریف می‌شود

$$\omega(Z, N, E) = \sum_j \delta(Z - Z_j) \delta(N - N_j) \delta(E - E_j), \quad (1)$$

که در آن E_j انرژی حالت زام هسته‌ای با Z_j پروتون و N_j نوترون است. با استفاده از نمایش انتگرالی تابع دلتای دیراک خواهیم داشت:

$$\omega(Z, N, E) = (2\pi i)^{-3} \int_{c-i\infty}^{c+i\infty} \int \exp(\beta E - \alpha_Z Z - \alpha_N N) \\ \times Q(\beta, \alpha_Z, \alpha_N) d\beta d\alpha_Z d\alpha_N. \quad (2)$$

که در آن

$$Q(\beta, \alpha_Z, \alpha_N) = \sum_j \exp(-\beta E_j + \alpha_Z Z_j + \alpha_N N_j). \quad (3)$$

به سطوحی که انرژی یکسان ولی تکانه زاویه‌ای مختلف دارند
حالت^۱ و به مجموع آنها تراز^۲ گفته می‌شود. چگالی تراز
 $\rho(E, N, Z)$ با معادله زیر به چگالی حالت
 $\omega(E, N, Z)$ مربوط است:

$$\rho(E, N, Z) = \frac{\omega(E, N, Z)}{\text{تعداد میانگین حالت‌ها در تراز}} \quad (11)$$

با استفاده از نظریه معروف حد مرکزی^۳ مکانیک آماری می‌توان
نشان داد که تعداد تصاویر تکانه زاویه‌ای M در طول محور ثابت

در فضا در اولین تقریب با یکتابع گاؤسی داده می‌شود [۵]

$$P(E, N, Z, M = J) = P(E, N, Z, M = o) e^{-M^2/2\sigma^2}. \quad (12)$$

در این رابطه σ پهنه‌ای توزیع گاؤسی است که آن را با عنوان
پارامتر قطع اسپین^۴ چگالی تراز در نظر می‌گیریم. به این ترتیب
تعداد متوسط حالت‌ها در هر تراز $\sqrt{2\pi\sigma^2}$ به دست می‌آید.

در نهایت به رابطه وابسته به انرژی چگالی ترازهای
برانگیخته در چارچوب مدل گاز فرمی می‌رسیم

$$\rho(U) = \frac{1}{12\sqrt{2}\sigma} \frac{\exp^{-\sqrt{aU}}}{a^{1/4} U^{5/4}} ; \quad U = E - E_1. \quad (13)$$

که بنابراین جابه‌جایی E_1 ، یک جابه‌جایی است که در انرژی
برانگیختگی جهت منظور کردن اثرات پوسته‌ای و زوجیت وارد
می‌شود. در این رابطه σ را با توجه به محاسبات گیلبرت و
کمرون [۱۰] به صورت

$$\sigma^2 = 0.0888 A^{2/3} \sqrt{a(E - E_1)}, \quad (14)$$

در نظر می‌گیریم و پارامتر چگالی تراز a و پس جابه‌جایی E_1
را به وسیله برآش با داده‌های تجربی به دست می‌آوریم. به این
منظور از اطلاعات موجود در RIPL2 – database^۵ کمک
می‌گیریم، که ترازاها در فایل داده‌های ساختار هسته^۶ همراه با
انرژی و اعداد کوانتومی پایه شان برای ایزوتوپ‌های هسته‌های

$$\begin{aligned} & \left. \frac{\partial(\ln Q(\beta, \alpha_Z, \alpha_N) + \beta E - \alpha_Z Z - \alpha_N N)}{\partial \beta} \right|_{\beta_o, \alpha_{oZ}, \alpha_{oN}} \\ &= \frac{\partial \ln Q(\beta_o, \alpha_{oZ}, \alpha_{oN})}{\partial \beta_o} + E = o, \end{aligned}$$

$$\begin{aligned} & \left. \frac{\partial(\ln Q(\beta, \alpha_Z, \alpha_N) + \beta E - \alpha_Z Z - \alpha_N N)}{\partial \alpha_Z} \right|_{\beta_o, \alpha_{oZ}, \alpha_{oN}} \\ &= \frac{\partial \ln Q(\beta_o, \alpha_{oZ}, \alpha_{oN})}{\partial \alpha_{oZ}} - Z = o, \end{aligned} \quad (V)$$

$$\begin{aligned} & \left. \frac{\partial(\ln Q(\beta, \alpha_Z, \alpha_N) + \beta E - \alpha_Z Z - \alpha_N N)}{\partial \alpha_N} \right|_{\beta_o, \alpha_{oZ}, \alpha_{oN}} \\ &= \frac{\partial \ln Q(\beta_o, \alpha_{oZ}, \alpha_{oN})}{\partial \alpha_{oN}} - N = o. \end{aligned}$$

با بسط تیلور $\ln Q(\beta, \alpha_Z, \alpha_N) + \beta E - \alpha_Z Z - \alpha_N N$ حول

نقطه اکسترم نتیجه محاسبه را به شکل زیر می‌نویسیم

$$\omega(E, Z, N) = \frac{e^S}{(2\pi)^{1/2} \sqrt{\frac{\pi^2}{3} \frac{g_{oN} g_{oZ} g_o}{\beta_o^5}}}. \quad (A)$$

در این رابطه $S = \ln Q(\beta_o, \alpha_{oZ}, \alpha_{oN}) + \beta_o E - \alpha_{oZ} Z - \alpha_{oN} N$ همان تعريف آنتروپی در مکانیک آماری است و β_o عکس
دمای سیستم $t = \frac{1}{\beta_o}$ و $g_o = g_{oN} + g_{oZ}$ چگالی تراز تک
ذره‌ای کل است. با استفاده از اولین رابطه در (۷) معادله حالت
سیستم به صورت زیر حاصل می‌شود

$$E - E_o \equiv U = \frac{\pi^2 g_o}{6 \beta_o^2} = \left(\frac{\pi^2 g_o}{6} \right) t^2. \quad (9)$$

اینک با تعريف پارامتر چگالی تراز به صورت $a = \frac{\pi^2 g_o}{6}$ و با
جاگذاری $U = at^2$ ، $\beta_o = \sqrt{\frac{a}{U}}$ و $S = \frac{1}{2} \ln \frac{a}{U}$ در رابطه (۸)
و با فرض $g_{oN} = g_{oZ}$ ، به شکلی ساده برای چگالی حالات
برانگیخته هسته دست می‌یابیم

$$\omega(U) = \frac{\sqrt{\pi}}{12 a^{1/4} U^{5/4}} \exp(2\sqrt{aU}). \quad (10)$$

در بسیاری مسائل نه تنها چگالی کل حالات برانگیخته هسته‌ها،
بلکه توزیع حالت‌ها حول تکانه زاویه‌ای J یا تصویر آن روی
یک محور خاص M ، مورد توجه است. همان طور که می‌دانیم

۱. state

۲. level

۳. central limit

۴. spin cut-off parameter

۵. evaluated nuclear structure data file

$$a = \frac{A}{15/5}, \quad (A) \quad (19)$$

$$a = \frac{A}{16}, \quad () \quad (20)$$

رفتار کلی پارامتر a بر حسب عدد جرمی A در شکل ۳ آمده است. در این شکل $\sqrt{\frac{a}{A}}$ بر حسب $A^{1/8}$ رسم گردیده است.

شکل ۳ نشان می‌دهد که پارامتر چگالی تراز هسته‌ای از رابطه

$$a = A^{\frac{1}{8}} (0.105 e^{19/11} + 0.15)^2, \quad (21)$$

پیروی می‌کند.

از شکل ۲ دیده می‌شود که پارامترهای تجربی به دست آمده رفتار پیچیده‌ای به شرح زیر از خود نشان می‌دهند:

۱. پارامتر چگالی تراز هسته‌ای a , به نوع هسته، زوج-زوج، A -فرد و فرد-فرد، بستگی دارد به نحوی که از برآش تغییرات a بر حسب A با یک خط شیب آن برای انواع هسته‌ها به ترتیب کاهش می‌یابد. در محاسبات نظری معمولاً مقدار $a = \frac{A}{8} \text{ MeV}^{-1}$ به کار می‌رود، که طبق

محاسبات انجام شده در این مقاله مقادیر $\frac{A}{15/5}$ و $\frac{A}{13/5}$ و $\frac{A}{12/5}$ به ترتیب برای هسته‌های زوج-زوج، A -فرد و A -فرد-فرد پیشنهاد می‌گردد.

۲. این پارامتر بستگی قوی به اثرات لایه‌ای دارد، چنان که در لایه‌های بسته $Z=82$ و $N=126$ تغییرات زیادی از خود نشان می‌دهد. این اثر کاملاً در شکل‌های ۲ به صورت کاهش سریع پارامتر چگالی تراز هسته‌ای در مجاورت

$A=208$ بارز است. این اثر به کم بودن چگالی تراز تک ذره‌ای برای هسته‌هایی که لایه بسته دارند، مربوط می‌شود.

پارامتر پس-جایه‌جایی، E_1 , حتی رفتار پیچیده تری از خود نشان می‌دهد، به اضافه اینکه به نوع هسته، زوج-زوج، A -فرد و فرد-فرد نیز بستگی دارد.

مقادیر به دست آمده در این پژوهش برای این پارامتر به ترتیب $\frac{5}{\sqrt{A}}$ و $\frac{-15}{\sqrt{A}}$ و $\frac{-8/5}{\sqrt{A}}$ برای هسته‌های زوج-زوج، A -فرد و فرد-فرد می‌باشد،

که شکل تابعی آن بر حسب A قبل قیاس با مقدار $E_1 = \pm \frac{12}{\sqrt{A}} \text{ MeV}$

است، که معمولاً در محاسبات نظری به کار می‌رود.

مختلف فهرست شده‌اند [۱۵].

در انتخاب هسته‌ها شرط کامل بودن، یعنی داشتن اسپین و پاریتۀ مشخص برای تمام ترازها در بازه اسپین و انرژی داده شده، و جامع بودن یعنی وجود تعداد زیادی تراز، حداقل ۱۰ تراز، در این بازه را رعایت کرده‌ایم [۱۶]. با رسم نمودار تعداد ترازهای هسته بر حسب انرژی هر تراز تعداد ترازهای تجربی را در بازه انرژی که در شرایط بالا صدق می‌کند در اختیار داریم.

برای یافتن a و E_1 باید از رابطه (۱۳) انتگرال بگیریم تا رابطه‌ای برای تعداد ترازها بر حسب انرژی به دست آوریم

$$N(E) = NL + \int_{EL}^E \rho(E') dE'. \quad (15)$$

حاصل این انتگرال چنین است

$$N(E) = NL + \frac{1}{12\sqrt{2}\sqrt{0.0888}A^3} \times \left(\frac{-2e^{2\sqrt{a(E-E')}}}{\sqrt{a(E-E')}} + 4Ei(2\sqrt{a(E-E')}) \right), \quad (16)$$

که در آن

$$Ei(x) = 0.5772156 + \ln x + \sum_{n=1}^{\infty} \frac{x^n}{n!}. \quad (17)$$

حدود انتگرال فوق را جهت یافتن مناسب‌ترین برآش با کمترین x به جای صفر، EL در نظر می‌گیریم و مقدار آن را $EL = E^3$ مربوط به انرژی برانگیختگی سوم قرار می‌دهیم و با نمودار داده‌های تجربی برآش می‌کنیم. مقدار NL نیز مناسب با EL آن به صورت $NL = 3$ انتخاب می‌شود. نتایج حاصل برای 468 هسته مختلف را در جدول ۱ مشاهده می‌کنید.

چند نمونه از نمودارهای برآش شده در شکل ۱ آمده است. در شکل ۲ پارامتر چگالی تراز هسته‌ای a به ترتیب برای هسته‌های زوج-زوج، A -فرد و فرد-فرد رسم شده است. از این نمودارها پارامتر چگالی تراز هسته‌ای a به ترتیب برای این هسته‌ها به صورت زیر به دست می‌آید:

$$a = \frac{A}{12/5}, \quad () \quad (18)$$

جدول ۱. پارامتر چگالی تراز a و پس-جایه جایی $E.rang$. $E1$ تعداد ترازاها در بازه انرژی مربوطه است.

NUCL	Nmax	E.rang (MeV)	a (MeV) $^{-1}$	E1 (MeV)	NUCL	Nmax	E.rang (MeV)	a (MeV) $^{-1}$	E1 (MeV)
^{17}F	۲۴	۷/۵	۲,۲۰۱۸۰	-۰,۰۱۶۳۳	^{۳۷}Ar	۳۳	۵,۱۲۹۸	۴,۲۵۷۳۲	۰,۴۴۵۸۲
^{۱۸}F	۳۶	۹,۱۷	۲,۳۱۶۵۳	۰,۷۰۰۵۸	^{۳۸}Ar	۶۹	۷,۰۵۳۸	۴,۷۴۵۳۹	۲,۱۸۹۱۹
^{۱۹}F	۷۶	۸,۲۳۸	۲,۴۶۷۲۸	-۱,۶۶۴۴۷	^{۳۹}Ar	۳۱	۳,۹۹۲۱	۴,۱۲۰۱۹	-۱,۰۴۷۱۷
^{۲۰}F	۸۰	۷,۱۶۶	۲,۳۲۲۰۲	-۳,۶۹۱۷۶	^{۴۰}Ar	۵۸	۵,۰۹۳۱	۴,۰۵۲۳۳	۰,۸۰۰۰۵
^{۲۱}F	۲۶	۵,۰۹۲	۲,۱۸۴۳۶	-۲,۶۵۲۳۷	^{۴۱}Ar	۳۰	۳,۸۸۹	۴,۸۷۵۸۲	-۰,۰۹۴۱
^{۱۹}Ne	۲۷	۶,۲۳۷	۲,۶۸۹۸۳	۰,۰۰۳۲	^{۳۸}K	۴۴	۴,۱۸۴۵	۴,۸۲۹۱۷	۰,۳۷۰۰۵
^{۲۰}Ne	۵۰	۱۱,۶۰۳	۲,۴۴۰۳۶	۲,۹۱۳۶۵	^{۴۰}K	۵۹	۴,۱۱۰۸۶	۴,۹,۰۹۳۹	-۰,۰۸۷۹۱۵
^{۲۱}Ne	۶۶	۸,۶۸	۲,۶۰۹۶۳	۰,۳۶۵۹۸	^{۴۱}K	۵۸	۴,۰۲۶۹۴	۰,۰۴۴۸	-۰,۰۸۲۰۵
^{۲۲}Ne	۳۷	۸,۰۹۲	۲,۷۲۰۳۴	۱,۱۷۳۸۶	^{۴۳}K	۳۵	۳,۲۳	۳,۱۹۰۴۴	-۳,۰۵۰۸۵
^{۲۳}Na	۸۹	۹,۷۱۱۳	۲,۹۰۱۱۵	۰,۳۳۳۵۵	^{۴۴}Ca	۳۸	۴,۶۰۳۱	۴,۰۵۲۴۷	-۰,۰۹۲۴۴
^{۲۴}Na	۵۳	۰,۴۷۸۹۶	۲,۳۳۸۶۵	-۱,۲۸۷۰۶	^{۴۵}Ca	۸۴	۶,۲۱۲	۰,۴۴۰۱۶	۱,۳۲۸۰۴
^{۲۵}Na	۳۰	۰,۷۴۶	۲,۱۳۳۵۶	-۰,۱۸۱۹۳	^{۴۶}Ca	۴۳	۳,۵۰۵۳	۰,۸۰۷۸۳	-۰,۳۲۳۲۴
^{۲۶}Mg	۴۰	۷,۴۹۳	۲,۰۳۱۹۶	۰,۷۷۳۰۸	^{۴۷}Ca	۵۹	۰,۴۰۴	۰,۲۰۷۲۸	۰,۷۳۵۱۱
^{۲۷}Mg	۶۲	۱۱,۵۲۸	۲,۹۰۵۷۲	۳,۷۷۷۷۱	^{۴۸}Ca	۳۵	۳,۴۹۰۷	۳,۳۱۱۰۳	-۳,۳۹۳۳۵
^{۲۸}Mg	۳۷	۶,۰۱۲	۲,۱۸۴۹۲۹	-۰,۰۵۰۷۴۱	^{۴۹}Ca	۳۸	۰,۷۷۲	۴,۶۷۷۷۵	۱,۱۷۸۴۴
^{۲۹}Mg	۵۵	۸,۰۵۶	۲,۲۷۰۵۳	۱,۶۵۰۷۶	^{۴۰}Sc	۴۵	۲,۱۷۸۷	۰,۵۱۱۷۵	-۱,۴۰۴۹۱
^{۳۰}Mg	۳۲	۶,۰۰۹	۲,۱۷۶۲۶	-۰,۰۳۸۴۲	^{۴۱}Sc	۶۸	۲,۷۸۳۰۲	۰,۱۶۱۹	-۲,۲۶۵۸۳
^{۳۱}Al	۳۰	۶,۱۱۲	۲,۲۲۳۹۳	-۲,۰۵۰۳۴	^{۴۲}Sc	۴۸	۳,۳۹۲	۰,۹۸۸۱۱	-۰,۴۴۱۴۱
^{۳۲}Al	۶۶	۰,۹۴۹۹۳	۳,۰۸۹۶۷	-۱,۷۹۰۷۵	^{۴۳}Sc	۳۴	۰,۱۴۲	۴,۹۹۲۸	۰,۱۹۹۷۶
^{۳۳}Al	۴۳	۶,۹۹۶	۲,۳۸۳۰۰	۰,۸۸۴۹۷	^{۴۴}Ti	۵۵	۴,۱۸۴۵	۰,۴۱۲۷۲	۰,۳۹۸۱۷
^{۳۴}Al	۳۱	۴,۳۱۱	۲,۰۷۵۱۱	-۳,۶۱۴۶۴	^{۴۵}Ti	۶۱	۳,۷۷۲۱	۴,۱۵۱۸۵	-۲,۰۵۰۴۳۷
^{۳۵}Si	۴۰	۷,۱۹۷	۳,۸۵۰۲۲	۱,۹۳۵۳۱	^{۴۶}Ti	۶۸	۰,۱۹۷۳	۰,۳۶۵۰۴	۰,۳۵۳۷۲
^{۳۶}Si	۲۲	۷,۰۱۹	۲,۶۸۶۴۹	۰,۵۱۲۵۸	^{۴۷}Ti	۴۱	۳,۹۹	۳,۸۳۰۵۳	-۲,۰۱۱۱۶
^{۳۷}Si	۴۰	۶,۹۹۷	۲,۹۲۷۶۶	۱,۰۵۰۴۶	^{۴۸}Ti	۴۱	۰,۱۸۸	۰,۳۰۹۲۵	۱,۷۰۰۴۸
^{۳۸}P	۵۷	۶,۳۶۱	۲,۳۱۱۶۱	-۰,۴۱۶۴۴	^{۴۹}V	۶۲	۳,۰۳۱۱	۰,۴۷۰۵۹	-۰,۰۴۴۵۱
^{۳۹}P	۳۶	۶,۶۱۰۳	۳,۲۳۱۹	۰,۷۷۰۰۵	^{۵۰}V	۴۴	۲,۰۳۴	۰,۸۸۷۱۸	-۱,۳۰۰۵۱
^{۴۰}P	۳۰	۴,۲۱۱۳	۲,۲۶۷۰۸	-۱,۰۹۳۷۱	^{۵۱}V	۷۵	۴,۰۸۲۷۹	۶,۱۶۰۸۷	۰,۳۰۹۹۸
^{۴۱}P	۲۸	۶,۱۸۲	۲,۰۷۴۳۸	۱,۷۴۱۷۹	^{۵۲}V	۳۳	۲,۰۹۱	۴,۰۲۱۸۲	-۲,۰۷۱۸۵
^{۴۲}S	۲۵	۰,۸۹۴	۳,۰۰۵۹۴	۰,۸۱۰۸۵	^{۵۳}Cr	۴۶	۰,۰۵۱	۲,۳۹۴۱	-۱,۰۸۱۰۵۴
^{۴۳}S	۳۲	۷,۹۷۴	۲,۴۴۵۲۳	۲,۳۶۴۵۹	^{۵۴}Cr	۴۱	۴,۱۰۱	۰,۸۲۲۲۲	۰,۹۶۶۹۷
^{۴۴}S	۴۴	۶,۱۳۱	۲,۶۸۹۶۵	۰,۲۱۰۵۵	^{۵۵}Cr	۹۳	۴,۴۵۱	۶,۳۱۹۳۲	۰,۰۴۵۶۴
^{۴۵}S	۴۱	۷,۲۷	۲,۱۹۰۴۱	۱,۷۵۰۱۷	^{۵۶}Cr	۳۱	۳,۶۱۶۵۱	۰,۰۸۷۰۱	-۰,۰۴۹۱۶
^{۴۶}S	۳۱	۰,۴۷۵	۲,۹۹۸۶۹	-۱,۴۹۱۷۴	^{۵۷}Cr	۳۸	۴,۶۸۰۵۲	۶,۴۵۰۷۸	۱,۲۷۰۶۱
^{۴۷}Cl	۳۴	۰,۷۳۸	۳,۰۹۴۷۴	۰,۰۲۸۸۵	^{۵۸}Cr	۳۳	۳,۳۵۱	۴,۱۶۲۴۱	-۱,۰۹۱۸۲
^{۴۸}Cl	۴۹	۰,۰۱	۴,۷۷۹۹۶	۰,۲۴۶۹	^{۵۹}Mn	۴۶	۳,۰۲۲	۲,۴۳۰۵۹	-۳,۴۰۶۲۵
^{۴۹}Cl	۳۴	۰,۸۲۳	۲,۷۰۹۰۰	۰,۰۴۰۷۲	^{۶۰}Mn	۳۸	۳,۶۲۴۸	۷,۰۱۳۲۵	۰,۴۷۹۶۹
^{۵۰}Cl	۳۵	۴,۳۱۰۶۵	۴,۲۲۵۳۵	-۰,۰۵۳۱۸۹	^{۶۱}Mn	۳۵	۲,۳۵۴۵۳	۶,۳۱۳۷۶	-۱,۰۴۲۱
^{۵۱}Cl	۶۱	۶,۴۱۵	۲,۷۶۰۸۶	-۰,۲۷۹۷۷					
^{۵۲}Ar	۲۹	۷,۱۳۵۳۹	۷,۰۶۸۰۹	-۰,۴۷۶۰۴					

NUCL	Nmax	E.rang (MeV)	α (MeV) ⁻¹	E1 (MeV)
⁵⁵ Mn	93	4,0016	0,97394	-0,74189
⁵⁶ Mn	54	2,105914	2,03222	-3,00807
⁵⁷ Mn	34	2,7772	3,08883	-3,66076
⁵⁸ Fe	31	3,4069	0,23618	-0,52366
⁵⁹ Fe	75	0,3066	6,16941	1,03652
⁶⁰ Fe	56	3,37111	0,83908	-0,79492
⁶¹ Fe	60	4,72	6,75122	1,01394
⁶² Co	31	4,17733	4,2864	-1,19973
⁶³ Co	33	2,07091	0,08842	-0,7145
⁶⁴ Co	69	4,064	0,64078	-0,5723
⁶⁵ Co	91	4,0996	0,67178	0,93529
⁶⁶ Co	98	2,94422	0,23407	-2,05928
⁶⁷ Co	66	2,66	0,84602	-0,82117
⁶⁸ Ni	31	4,078	0,08422	0,42358
⁶⁹ Ni	58	3,638	6,36786	-0,22005
⁷⁰ Ni	48	4,613	6,87106	1,0216
⁷¹ Ni	34	2,9	4,9489	-1,42649
⁷² Ni	48	4,003	7,03826	1,1077
⁷³ Ni	48	4,741	6,88332	1,30517
⁷⁴ Ni	31	3,044	0,11029	-1,09375
⁷⁵ Cu	39	3,7077	6,79817	0,04174
⁷⁶ Cu	40	3,32231	6,0409	-0,18244
⁷⁷ Cu	59	2,022	6,2462	-2,24734
⁷⁸ Cu	88	3,74019	7,36421	-0,04362
⁷⁹ Cu	108	2,73232	6,7386	-1,69879
⁸⁰ Cu	62	3,076	1,06272	0,06826
⁸¹ Cu	32	1,74019	4,83842	-2,93836
⁸² Zn	30	2,319	4,74688	-2,09369
⁸³ Zn	33	2,1377	6,05478	-1,06932
⁸⁴ Zn	63	2,332	7,81944	1,01205
⁸⁵ Zn	40	2,17529	7,05944	-0,82008
⁸⁶ Zn	50	3,971	8,75072	1,19313
⁸⁷ Zn	28	2,0433	6,41161	-1,23164
⁸⁸ Zn	37	4,172	4,77171	-0,58273
⁸⁹ Ga	32	2,4073	9,21148	0,1732
⁹⁰ Ga	62	1,74238	7,08949	-1,80986
⁹¹ Ga	41	2,861	6,79463	-0,0304
⁹² Ga	61	1,9375	6,2799	-2,48309
⁹³ Ga	46	2,016	4,87095	-2,20722

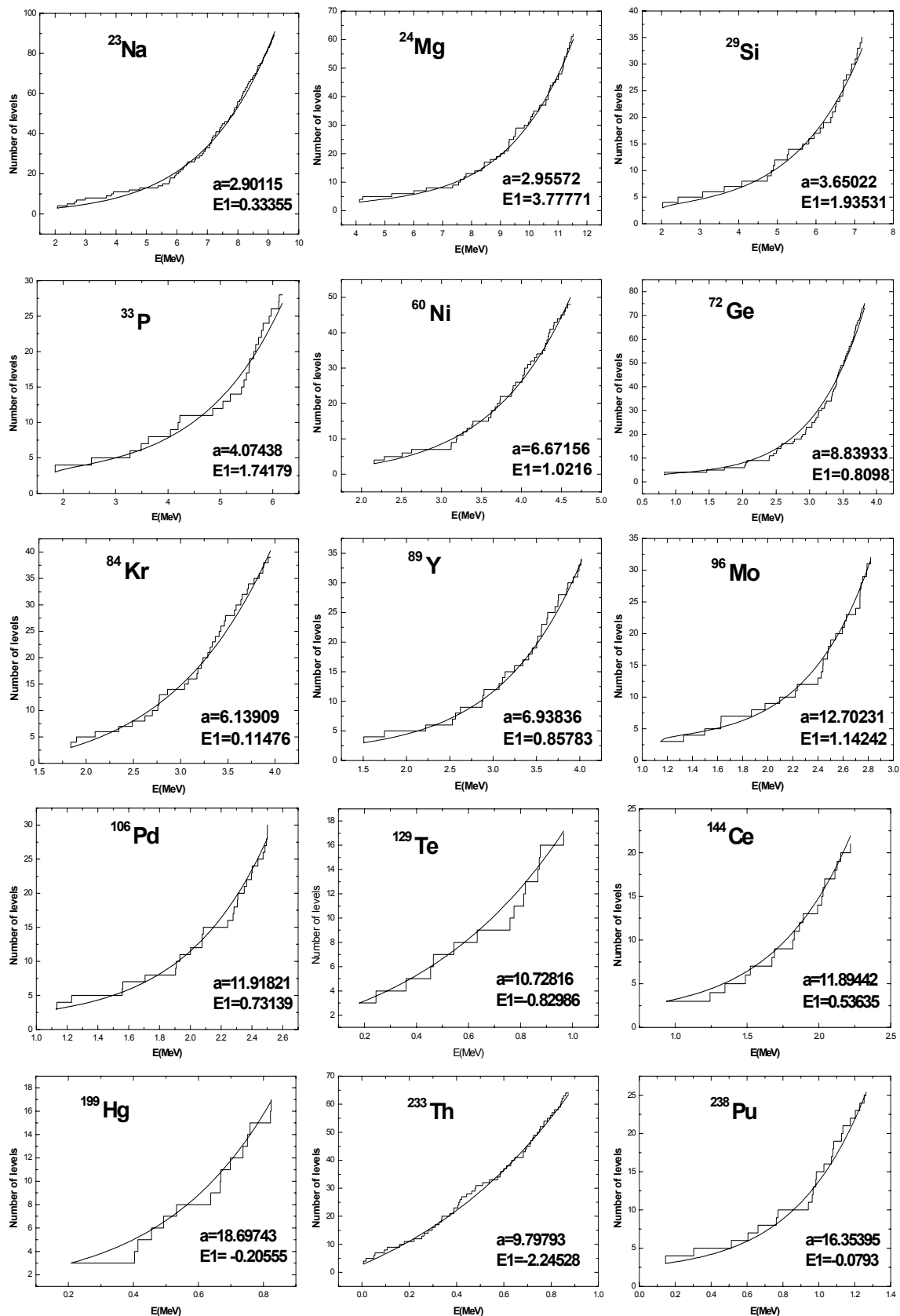
NUCL	Nmax	E.rang (MeV)	α (MeV) ⁻¹	E1 (MeV)
⁹⁴ Ga	43	2,99883	4,88838	-1,84302
⁹⁵ Ge	47	2,22482	0,68739	-2,08489
⁹⁶ Ge	73	4,131	9,02047	1,18238
⁹⁷ Ge	42	1,82919	11,47063	-0,41788
⁹⁸ Ge	75	3,821	8,83933	0,8098
⁹⁹ Ge	37	1,3399	7,7134	-1,72287
¹⁰⁰ Ge	59	2,40993	9,64129	0,77574
¹⁰¹ Ge	33	1,603	4,09183	-3,06992
¹⁰² Ge	52	3,506	9,497	0,91095
¹⁰³ As	24	1,61057	10,8673	-0,10506
¹⁰⁴ As	48	1,03377	4,33831	-6,02198
¹⁰⁵ As	36	1,34408	9,52112	-0,99435
¹⁰⁶ As	31	1,4303	7,22513	-1,69631
¹⁰⁷ As	35	1,87643	7,54525	-1,3406
¹⁰⁸ Se	25	2,91845	7,27804	0,29579
¹⁰⁹ Se	49	1,49052	8,40	-1,44951
¹¹⁰ Se	43	3,1057	9,52906	0,8819
¹¹¹ Se	38	1,51102	7,62388	-1,62134
¹¹² Se	78	3,6322	8,407	0,34827
¹¹³ Se	40	1,0264	7,09274	-1,1944
¹¹⁴ Se	42	3,491	8,92257	0,13032
¹¹⁵ Br	36	1,3049	4,25033	-4,74315
¹¹⁶ Br	57	1,8	6,71085	-2,123
¹¹⁷ Br	46	1,8802	0,9109	-2,0588
¹¹⁸ Br	50	1,048	7,16332	-2,08876
¹¹⁹ Kr	29	1,312242	8,09247	-1,28752
¹²⁰ Kr	43	1,80597	5,39309	-2,78774
¹²¹ Kr	39	2,90121	6,13909	0,11476
¹²² Kr	33	2,6367	4,19367	-3,07059
¹²³ Kr	28	2,31643	6,09191	1,17318
¹²⁴ Kr	48	3,3019	4,63018	-2,29121
¹²⁵ Kr	32	3,652	6,11227	-0,03935
¹²⁶ Rb	33	2,078	6,44197	-1,36276
¹²⁷ Rb	36	2,0249	4,9499	-2,97782
¹²⁸ Rb	28	3,09	4,08041	-2,2068
¹²⁹ Sr	59	2,05	6,08402	-1,42167
¹³⁰ Sr	42	3,973	5,09374	-0,86433
¹³¹ Sr	99	2,96	6,050114	-0,80691
¹³² Sr	50	0,199	6,39807	1,28973

NUCL	Nmax	E.rang (MeV)	α (MeV) ⁻¹	E1 (MeV)	NUCL	Nmax	E.rang (MeV)	α (MeV) ⁻¹	E1 (MeV)
⁸⁹ Sr	67	2,771	7,00666	0,48768	⁹⁸ Ru	26	2,85962	11,05284	0,80323
⁹⁰ Sr	27	3,62701	7,16495	0,76605	⁹⁹ Ru	24	1,41425	6,08126	-2,14529
⁸⁸ Y	95	3,195	5,28762	-2,03746	¹⁰⁰ Ru	44	2,77024	12,40797	0,82474
⁸⁸ Y	27	1,5909	6,9897	-1,03442	¹⁰² Ru	26	2,4687	9,821	0,41228
⁸⁹ Y	34	4,0228	6,93836	0,85783	¹⁰⁴ Ru	27	2,8234	6,03025	-0,77064
⁹⁰ Y	34	2,6238	5,09444	-1,89705	⁹⁷ Rh	20	1,635	10,80277	-0,09923
⁸⁸ Zr	30	3,63776	6,78364	0,46174	⁹⁹ Rh	28	1,6261	7,93437	-1,0462
⁸⁹ Zr	41	3,11113	5,93916	-0,95603	¹⁰³ Rh	38	1,03061	10,02074	-0,75378
⁹⁰ Zr	42	4,175	8,67088	2,17333	¹⁰⁴ Rh	91	1,05029	6,0534	-3,9879
⁹¹ Zr	56	3,489	7,40089	-0,010566	¹⁰⁵ Rh	25	1,024	10,09084	-0,3481
⁹¹ Zr	55	3,8303	8,20302	0,710569	¹⁰² Pd	32	2,8909	13,31787	1,06076
⁹³ Zr	30	2,048	2,07397	-2,03226	¹⁰⁶ Pd	30	2,05031	11,91821	0,73139
⁹⁴ Zr	25	3,0594	11,02295	1,28036	¹⁰⁸ Ag	80	1,1176	11,65042	-1,37072
⁹⁵ Zr	20	2,37224	8,1483	0,03801	¹¹⁰ Ag	88	1,11225	5,78045	-4,05397
⁹⁶ Zr	39	3,70068	11,0308	1,62716	¹¹¹ Ag	73	1,83	11,09901	-0,79898
⁹⁷ Zr	11	2,165	10,17761	0,89135	¹⁰⁸ Cd	33	2,93611	13,70493	1,30479
⁹⁸ Zr	24	1,2307	12,05484	-0,47039	¹¹⁰ Cd	28	2,8624	10,8197	0,66972
⁹⁹ Nb	39	1,88021	4,14176	-3,14002	¹¹¹ Cd	43	1,39181	11,02848	-0,80912
⁹⁹ Nb	30	2,79206	5,98735	-1,00201	¹¹² Cd	152	3,359	12,25301	0,63172
⁹⁹ Nb	46	1,972	11,22352	-0,21176	¹¹³ Cd	33	1,2798	9,50263	-1,22398
⁹⁹ Nb	48	2,0369	7,09342	-1,09161	¹¹⁴ Cd	43	2,05387	9,96166	0,29051
⁹⁹ Nb	72	1,73131	7,99718	-1,78913	¹¹⁵ Cd	33	2,0547	11,12342	0,64059
⁹⁹ Nb	24	1,037	8,95	-0,7171	¹¹⁶ In	43	1,3033	9,52906	-1,33742
⁹⁹ Mo	29	3,5399	5,76371	-0,30797	¹¹⁷ In	48	1,2868	8,4796	-1,78047
⁹⁹ Mo	47	2,191	6,79415	-0,49365	¹¹⁸ In	61	2,19	10,03049	-0,34429
⁹⁹ Mo	26	3,96223	6,97050	1,04703	¹¹⁹ In	39	1,20164	12,6699	-0,70043
⁹⁹ Mo	93	3,45	8,37064	-0,1437	¹¹⁶ In	60	1,2925	8,44227	-2,10065
⁹⁹ Mo	50	2,462	8,79861	0,63344	¹²⁰ In	31	2,4115	10,45082	0,34669
⁹⁹ Mo	27	1,0824	6,6852	-1,08177	¹¹³ Sn	33	1,95702	9,66808	-0,33615
⁹⁹ Mo	32	2,81843	12,70231	1,14242	¹¹⁴ Sn	32	3,2241	9,93493	1,03812
⁹⁹ Mo	48	2,853	11,05337	0,7545	¹¹⁵ Sn	36	2,371	12,06486	0,68095
⁹⁹ Mo	51	1,045	11,08098	-0,7011	¹¹⁶ Sn	40	3,3798	13,0703	1,02277
¹⁰⁰ Mo	30	2,464	11,49454	0,61339	¹¹⁸ Sn	40	3,10806	11,71016	1,0661
⁹⁹ Tc	20	2,33889	6,4172	-0,80598	¹¹⁹ Sn	28	1,81	11,42043	-0,04924
⁹⁹ Tc	32	1,74699	8,04835	-1,01168	¹²¹ Sn	50	2,415	7,05034	-0,98223
⁹⁹ Tc	74	1,18709	6,4206	-3,02213	¹¹⁶ Sb	60	1,48331	10,0048	-1,24108
⁹⁹ Tc	51	1,058	11,89977	-0,06801	¹¹⁸ Sb	101	1,45822	10,12941	-1,62669
⁹⁹ Tc	28	1,205	9,17284	-0,95129	¹²⁰ Sb	22	2,00214	11,9194	0,35363
⁹⁹ Ru	28	3,0902	11,48908	1,29305	¹¹⁷ Sb	33	2,37209	13,03299	0,77076

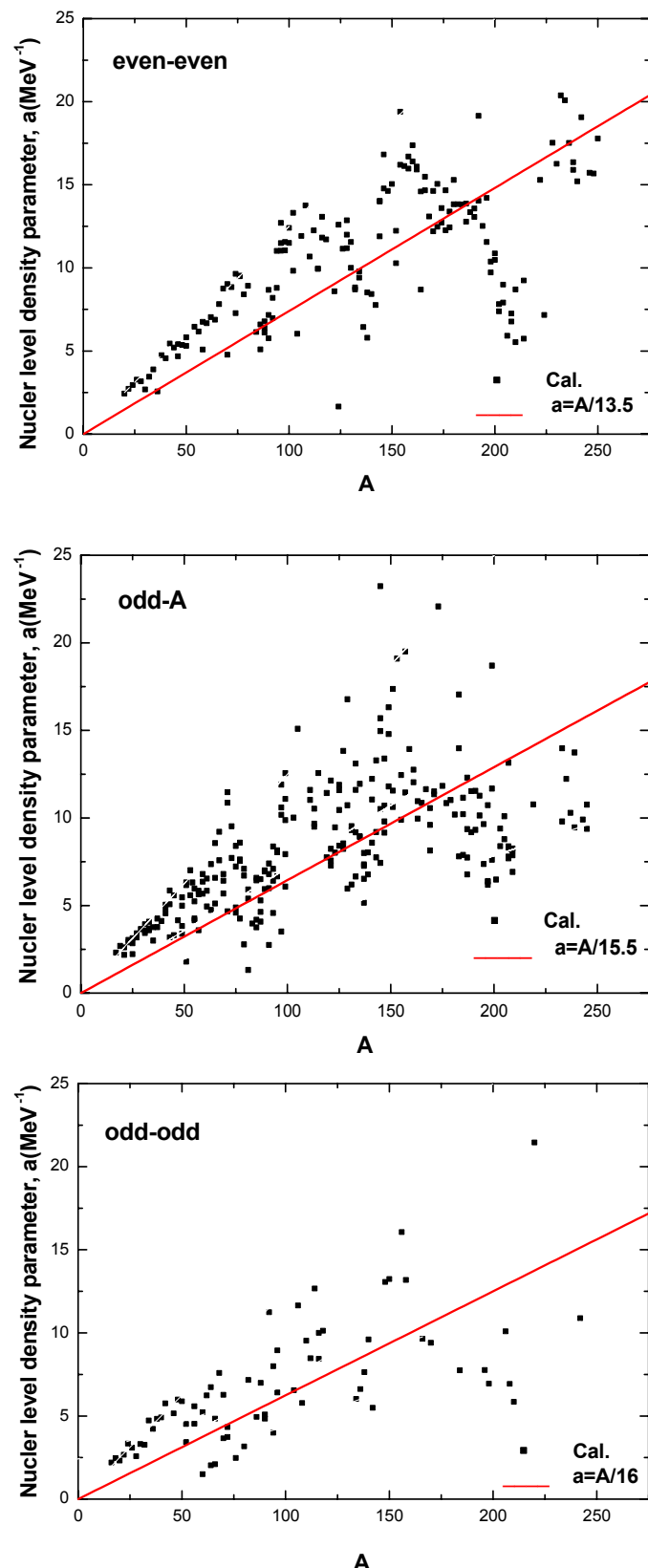
NUCL	Nmax	E.rang (MeV)	α (MeV) ⁻¹	E1 (MeV)	NUCL	Nmax	E.rang (MeV)	α (MeV) ⁻¹	E1 (MeV)
¹¹⁹ Sb	۲۲	۲,۰۳۰۷	۱۶,۷۷۶۵۷	۰,۹۰۰۶۵	^{۱۹۵} Ba	۲۴	۰,۸۷۲۳۷	۱۰,۵۱۶۰۱	-۱,۲۶۳
¹¹⁹ Te	۳۹	۱,۲۱۰۴	۷,۷۴۹۴۷	-۲,۰۹۴۲۱	^{۱۳۳} La	۳۲	۱,۳۹۶۴۳	۶,۶۵۹۰۷	-۲,۱۰۵۶۶
¹¹¹ Te	۳۷	۱,۲۸۳	۸,۲۳۹۶۴	-۱,۷۷۰۶۹	^{۱۳۷} La	۳۹	۲,۲۰۶	۰,۱۰۶۸۴	-۲,۷۰۰۶۹
¹³³ Te	۲۳	۲,۰۵۰۸۱	۸,۰۹۲۶	۰,۱۱۴۳۴	^{۱۳۸} La	۴۵	۱,۴۹۰	۷,۶۴۱۲۴	-۱,۹۴۲۷۵
¹³³ Te	۲۰	۱,۰۸	۹,۴۶۴۸۹	-۱,۰۸۷۹۸	^{۱۴۰} La	۱۳۳	۱,۸۷۹۷۱	۹,۶۰۴۸۷	-۱,۰۰۲۶۹
¹³² Te	۹۷	۳,۱۰۴۹۹	۱۲,۰۹۳۲۹	۰,۷۴۹۳۲	^{۱۳۴} Ce	۲۲	۲,۳۷۳۲	۹,۷۱۸۶	۰,۳۵۷۱۱
¹³⁰ Te	۳۰	۱,۳۲۲	۸,۴۱۶۹۹	-۱,۳۵۰۹۲	^{۱۳۷} Ce	۲۸	۱,۷۲۸۱	۷,۲۶۷۱۱	-۱,۳۲۴۴۵
¹³² Te	۵۴	۲,۸۷۷۲۳	۱۱,۱۰۶۱	۰,۵۲۳۵۵	^{۱۳۸} Ce	۳۱	۳,۰۰۵	۸,۰۵۱۸۴	۰,۳۴۸۵۲
¹³⁴ Te	۲۴	۱,۴۹۱	۸,۲۳۳۸۷	-۱,۳۵۰۷۶	^{۱۴۰} Ce	۴۸	۳,۷۴۶	۸,۴۲۷۰۷	۰,۷۱۶۵۶
¹³⁸ Te	۵۳	۲,۹۳۱۹	۱۱,۱۸۴۵۷	۰,۵۹۰۵۲	^{۱۴۱} Ce	۴۳	۲,۴۰۸	۱۲,۲۲۸۴۳	۰,۴۱۲۲۶
¹³⁹ Te	۱۷	۰,۹۶۶۵	۱۰,۷۸۲۱۶	-۰,۱۲۹۸۶	^{۱۴۴} Ce	۲۸	۲,۸۱	۷,۷۶۶	۰,۰۰۸۹۸
¹³⁰ Te	۳۷	۲,۸۷۸۴۵	۹,۹۹۷۸۱	۰,۴۷۲۹۱	^{۱۴۵} Ce	۳۰	۱,۷۳۹	۹,۱۹۷۱۴	-۰,۶۰۴۷۴
¹³¹ I	۳۶	۱,۳۳۹۳۴	۱۲,۱۳۸۶۸	-۰,۶۰۰۳۱	^{۱۴۶} Ce	۲۱	۲,۲۲۰۸	۱۱,۸۹۴۴۲	۰,۵۳۶۳۵
¹³³ I	۳۱	۱,۴۹۳	۸,۰۱۸۱۱	-۱,۳۷۸۲۶	^{۱۴۷} Ce	۲۱	۰,۷۱۰۳	۹,۱۶۱۸۵	-۱,۱۰۱۸۲
¹³⁵ I	۲۶	۱,۲۸۹	۱۱,۰۵۸۶۸	-۰,۵۱۲۰۳	^{۱۴۵} Pr	۳۸	۱,۰۷۱	۸,۹۱۳۰۳	-۱,۱۷۸۰۵
¹³⁷ I	۲۲	۱,۴۴۲۹	۸,۰۴۲۴۵	-۱,۲۴۸۴۳	^{۱۴۶} Pr	۴۴	۱,۱۸۴	۹,۶۱۸۵۲	-۲,۱۷۸۰۴
¹³¹ I	۴۷	۲,۰۴۰۸۳	۹,۰۲۹۸۹	-۰,۶۲۴۶۵	^{۱۴۹} Pr	۳۴	۱,۹۸	۶,۷۷۲۷۹	-۱,۰۵۴۶۱
¹³³ I	۵۱	۲,۲۸۳۷۷	۹,۱۸۴۸۶	-۰,۵۳۷۰۹	^{۱۴۱} Pr	۴۹	۲,۲۶۷۸	۸,۰۵۸۴	-۰,۸۳۲۵۴
¹³¹ Xe	۴۴	۱,۰۲۱۵	۷,۷۸۳۴۱	-۲,۷۹۳۴۱	^{۱۴۴} Pr	۴۲	۱,۲۹۰۵۲	۵,۴۹۲۳۲	-۳,۰۵۶۸۵
¹³⁸ Xe	۳۱	۲,۶۳۳	۱۲,۸۶۱۲۱	۰,۹۶۱۹۳	^{۱۴۱} Nd	۴۸	۲,۰۱۴۸	۱۱,۰۵۲۰۶	۰,۱۹۹۴۰
¹³⁰ Xe	۴۵	۲,۸۱۴۱۹	۱۱,۰۵۰۷۲	۰,۶۰۲۳۳	^{۱۴۳} Nd	۸۷	۲,۶۶۲۴۴	۱۳,۲۸۰۱۴	۰,۳۶۷۸۶
¹³³ Xe	۲۲	۱,۱۹۱۱۵	۹,۳۱۵۰۷	-۱,۰۶۲۳۶	^{۱۴۴} Nd	۶۳	۲,۹۸۶۲۵	۱۳,۹۹۴۵۲	۱,۰۲۸۹
¹³² Xe	۴۱	۲,۹۶۰۴	۸,۰۲۲۹۶	۰,۱۸۰۲۴	^{۱۴۵} Nd	۲۶	۱,۴۲۷۶	۱۴,۹۰۸۷۳	۰,۰۳۸۴۱
¹³³ Xe	۱۲	۱,۰۷۱۰۴	۱۱,۰۶۴۲۴	-۰,۳۱۶۶	^{۱۴۶} Nd	۲۳	۱,۹۸۹۳	۱۴,۷۸۰۲۴	۰,۶۰۲۳۱
¹³⁰ Xe	۳۰	۲,۴۷۷۸۷	۸,۹۵۱۴۱	۰,۰۶۰۹۳	^{۱۴۷} Nd	۲۴	۱,۰۴۱۴۸	۱۰,۷۰۵۱۱	-۰,۹۸۰۹۱
¹³⁷ Xe	۵۵	۲,۶۰۸۸	۸,۰۰۴۹۷	-۰,۱۸۰۳۴	^{۱۴۸} Pm	۲۷	۲,۱۰۸۳	۷,۷۴۷۹۹	-۰,۸۳۸۵
¹³³ Cs	۱۱۲	۱,۴۱۸	۹,۰۲۰۹۴	-۴,۱۹۱۸۳	^{۱۴۵} Pm	۳۳	۱,۰۵۷	۷,۴۳۸	-۱,۷۸۰۹۳
¹³⁷ Cs	۱۷	۲,۲۱۶۸	۹,۰۲۴۴۶	-۰,۷۳۶۲۲	^{۱۴۶} Pm	۳۵	۰,۷	۱۳,۰۶۹۵۷	-۱,۲۶۱۸۸
¹³⁸ Ba	۱۸	۲,۰۳۵	۱۲,۰۰۱۳۳	۰,۷۰۹۰۹	^{۱۴۷} Pm	۳۶	۰,۸۰۸۶۴	۱۱,۸۰۳۰۶	-۱,۳۳۹۸۲
¹³⁹ Ba	۳۹	۱,۱۱۹۸۵	۵,۹۶۰۸۳	-۳,۴۲۸۷۳	^{۱۴۱} Pm	۳۹	۰,۸۱۷۴۱	۱۰,۶۳۰۹	۱,۰۳۱۱۵
¹³¹ Ba	۲۴	۱,۳۴۹۲	۶,۲۰۱۰۴	-۲,۷۱۶۴۳	^{۱۴۸} Sm	۱۸	۲,۸۲۷	۱۴,۰۳۴۸۴	۱,۰۱۶۷۳
¹³³ Ba	۲۲	۲,۴۸۲۲۳	۸,۷۰۱۰۹	۰,۱۰۱۲۵	^{۱۴۰} Sm	۱۹	۱,۸۷۶۴	۲۲,۲۳۰۶	۱,۰۶۸۱۲
¹³³ Ba	۱۸	۱,۰۲۱۵۸	۱۳,۱۰۰۵۷	-۰,۴۶۶۱۶	^{۱۴۶} Sm	۲۹	۲,۶۱۱	۱۶,۸۲۲۲۲	۱,۳۰۸۴۱
¹³⁴ Ba	۵۹	۲,۰۸۷۵	۹,۴۱۲۰۳	۰,۲۱۹۰۶	^{۱۴۷} Sm	۳۸	۱,۴۷۱۸۸	۱۳,۳۸۶۹۹	-۰,۲۹۸۴۲
¹³⁵ Ba	۱۷	۱,۲۳۸۴۱	۱۱,۹۹۳۸۱	-۰,۲۸۶۲۱	^{۱۴۸} Sm	۳۷	۲,۲۲۸۰۷	۱۴,۶۲۳۶	۰,۶۲۸۸۲
¹³⁶ Ba	۴۴	۲,۹۹۴	۶,۴۴۹۲۷	-۱,۱۱۷۴۴	^{۱۴۹} Sm	۲۲	۰,۸۱۱۹۴	۱۶,۳۲۳۰۶	-۰,۳۹۹۰۷
¹³⁷ Ba	۲۳	۲,۳۵۰۵	۷,۴۴۶۸۸	-۰,۴۰۱۲۵	^{۱۵۰} Sm	۳۱	۱,۰۸۳۳	۱۵,۰۴۱۱۸	۰,۳۹۸۸۷
¹³⁸ Ba	۲۷	۳,۱۸۳۸۳	۵,۷۹۹۳۱	-۰,۱۱۸۶۷	^{۱۵۱} Sm	۳۱	۰,۴۴۵۰۲	۱۷,۳۶۵۹۶	-۰,۹۹۲۸۵
¹³⁹ Ba	۵۱	۲,۰۵۶	۸,۰۳۳۹۷	-۰,۷۸۳۹۶	^{۱۵۲} Sm	۴۰	۱,۸۲۱۱۹	۱۲,۲۳۰۱۷	-۰,۱۰۰۹۰

NUCL	Nmax	E.rang (MeV)	α (MeV) ⁻¹	E1 (MeV)	NUCL	Nmax	E.rang (MeV)	α (MeV) ⁻¹	E1 (MeV)
¹⁴⁷ Sm	26	1,053926	16,2031	0,238115	¹⁶⁶ Yb	31	1,744421	15,480116	0,27345
¹⁴⁵ Eu	21	1,91050	15,691174	0,69285	¹⁶⁸ Yb	50	1,07835	9,60193	-1,111
¹⁴⁷ Eu	26	1,42213	9,79841	-0,17029	¹⁷⁰ Yb	66	2,05294	12,19927	-0,24707
¹⁴⁹ Eu	29	1,049781	14,78832	-0,50419	¹⁷¹ Yb	63	1,3	11,35267	-1,1969
¹⁵⁰ Eu	36	0,683	13,24427	-1,22327	¹⁷⁷ Yb	124	2,37507	12,47243	-0,24323
¹⁵⁰ Eu	44	0,79712	19,09633	-0,5413	¹⁷⁸ Yb	17	0,65094	22,07718	-0,20830
¹⁵⁰ Eu	53	1,318	9,189763	-1,45416	¹⁷⁹ Yb	76	2,40333	12,77270	0,11444
¹⁵⁰ Eu	77	0,38632	16,06094	-1,17022	¹⁸⁰ Yb	40	1,3089	11,82927	-0,14490
¹⁵¹ Gd	25	0,93877	11,56354	-1,06709	¹⁷⁹ Yb	77	1,7982	12,20501	0,04627
¹⁵¹ Gd	24	2,01163	10,28061	-0,26265	¹⁷⁹ Lu	40	1,1188	10,85136	-1,10164
¹⁵¹ Gd	27	1,43205	19,38984	0,3515	¹⁷⁸ Hf	38	1,79104	10,00502	0,10567
¹⁵⁰ Gd	26	1,04023	16,13178	0,26387	¹⁷⁸ Hf	36	1,8274	13,60225	0,05623
¹⁵⁰ Gd	49	0,875	19,05901	-0,47166	¹⁷⁶ Hf	89	2,19398	14,66643	0,07993
¹⁵¹ Gd	28	1,0174	16,70061	0,23981	¹⁷⁸ Hf	81	2,1374	13,39061	-0,11719
¹⁵⁰ Gd	28	1,4603	17,37451	0,22747	¹⁷⁹ Hf	52	1,1995	11,0213	-1,2922
¹⁵¹ Gd	14	0,645	12,70511	-0,87409	¹⁸⁰ Hf	68	1,9902	13,82452	-0,0992
¹⁵⁰ Tb	25	0,8883	12,45071	-1,20876	¹⁸¹ Ta	15	0,97147	13,9772	-0,28805
¹⁵⁰ Tb	61	0,7675	13,18743	-1,42962	¹⁷⁸ W	24	1,6664	12,43432	-0,00676
¹⁵¹ Dy	24	1,02807	10,97091	0,29054	¹⁸⁰ W	34	1,83171	10,28727	0,31054
¹⁵⁰ Dy	31	0,6997	13,93075	-1,07204	¹⁸¹ W	64	2,2835	13,83111	0,26228
¹⁵⁰ Dy	42	1,7052	16,41049	0,26687	¹⁸² W	47	1,87669	13,81891	-0,02621
¹⁵¹ Dy	48	0,1261	12,04107	-1,41803	¹⁸³ W	48	1,18104	11,10191	-1,20545
¹⁵² Dy	73	2,002	16,08862	0,23778	¹⁸⁴ W	23	1,46306	12,7784	-0,20046
¹⁵³ Dy	52	0,94932	10,96079	-1,80879	¹⁸⁵ W	40	1,1397	12,30147	-0,924436
¹⁵⁴ Dy	33	1,8057	18,69342	-0,76609	¹⁸³ Re	31	1,18346	17,04405	-0,19397
¹⁵⁰ Ho	39	0,61179	11,4513	-1,87119	¹⁸⁴ Re	39	0,881	7,74704	-2,68133
¹⁵⁰ Ho	123	1,1613	9,643283	-2,38601	¹⁸⁵ Re	38	1,233	9,36222	-1,0501
¹⁵² Er	25	1,6282	10,96091	0,30272	¹⁸⁵ Os	40	0,9076	7,88473	-2,63921
¹⁵² Er	39	0,7362	9,96236	-1,98131	¹⁸⁶ Os	28	1,7763	13,87035	0,18836
¹⁵² Er	69	2,093	14,09768	0,17073	¹⁸⁷ Os	40	0,8855	7,74134	-2,78057
¹⁵⁰ Er	45	0,82	10,80894	-1,72103	¹⁸⁸ Os	51	2,0807	13,34838	0,10537
¹⁵³ Er	93	2,333	14,60877	0,25489	¹⁸⁹ Os	38	0,9077	9,19132	-1,97249
¹⁵⁴ Er	55	1,08629	11,64123	-1,34963	¹⁹⁰ Os	63	2,104	13,62993	4,7E-4
¹⁵⁴ Er	116	2,31107	13,08828	-0,12835	¹⁹¹ Os	43	0,85014	9,31993	-2,12108
¹⁵⁵ Er	48	1,186	10,06803	-1,31048	¹⁹² Os	53	2,09901	14,03473	0,19409
¹⁵⁶ Er	48	1,76916	14,63393	-0,05236	¹⁸⁹ Ir	40	1,1376	11,53543	-1,10189
¹⁵⁶ Tm	24	0,938	11,4478	-2,23934	¹⁹¹ Ir	39	1,07	11,04448	-1,05301
¹⁵⁷ Tm	91	1,07885	9,4096	-2,41984	¹⁹² Ir	51	1,2022	11,26969	-1,21604
¹⁵⁷ Tm	29	1,1167	11,01492	-0,92838	¹⁸¹ Pt	60	1,14104	10,19123	-1,70807

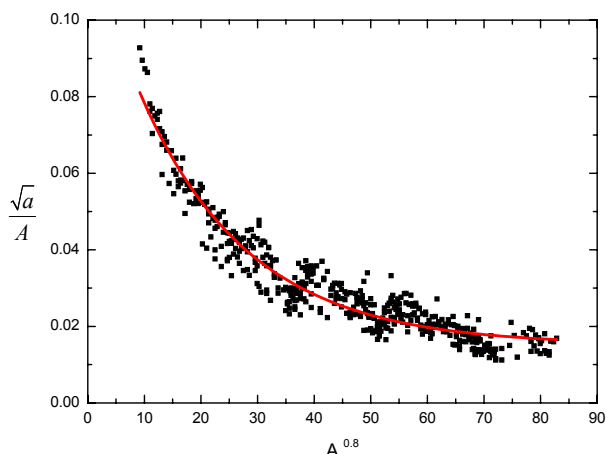
NUCL	Nmax	E.rang (MeV)	α (MeV) ⁻¹	E1 (MeV)	NUCL	Nmax	E.rang (MeV)	α (MeV) ⁻¹	E1 (MeV)
^{187}Pt	۵۶	۱,۰۷۱۲۲	۷,۸۰۴۴۲	-۲,۷۰۰۰۵	^{187}Bi	۲۵	۱,۹۷۲۷	۸,۳۸۸۵۴	-۱,۲۴۵۹۲
^{185}Pt	۹۹	۱,۷۳۵۷	۱۰,۲۱۷۲۲	-۱,۱۳۹۱	^{187}Bi	۴۲	۲,۲۲۱	۸,۳۸۱۰۴	-۰,۹۱۷۸۳
^{187}Pt	۳۲	۰,۷۸۱۲۸	۶,۷۷۴۱۸	-۳,۳۰۲۰۷	^{188}Bi	۴۶	۲,۱۶۵	۶,۹۳۰۴۷	-۱,۷۸۹۱۳
^{190}Pt	۲۳	۱,۷۳۷	۱۳,۵۷۰۹۴	۰,۱۹۴۶۶	^{189}Bi	۱۱۳	۴,۴۴۱۷	۷,۸۶۲۲۶	۰,۲۸۷۲
^{197}Pt	۲۲	۱,۰۴۶۸۷	۱۹,۱۴۴۹۳	۰,۴۶۴۱۹	^{110}Bi	۶۷	۲,۲۲۸	۵,۸۴۸۹۸	-۲,۱۱۴۲۵
^{193}Pt	۳۹	۰,۸۴۳	۱۰,۱۴۲۶۱	-۱,۱۲۹۰۴	^{187}Po	۲۴	۱,۷۸۱۷۶	۷,۷۸۹۴۹	-۱,۰۰۲۳۶
^{194}Pt	۸۱	۲,۴۲۷	۱۲,۵۲۰۴۳	۰,۰۰۹۰۷	^{189}Po	۲۴	۲,۳۶۳	۶,۹۲۲۸	-۰,۱۲۸۰۵
^{195}Pt	۴۰	۰,۹۳۰۷۱	۷,۳۷۱۱	-۲,۱۷۲۱۸	^{110}Po	۳۱	۳,۲۱۸۹۸	۸,۶۹۹۵۱	۰,۰۴۳۰۶
^{196}Pt	۸۹	۲,۰۵۳۸	۱۱,۰۵۶۰۶	-۰,۱۰۹۰۸	^{112}Po	۸۲	۳,۲۶۲۴	۹,۲۳۷۳۲	-۰,۰۶۷۰۲
^{197}Pt	۳۲	۰,۹۷۷۹	۶,۳۹۵۰۶	-۳,۱۲۶۱۴	^{207}At	۲۰	۱,۳۵۱۲	۱۳,۱۵۷۶۳	-۰,۳۲۳۶۳
^{198}Pt	۳۶	۲,۰۸۳	۱۰,۳۷۳۵۱	-۰,۳۱۳۹۳	^{209}At	۲۱	۱,۰۱۶۸۸	۸,۱۰۶۴۸	-۱,۲۴۸۷۳
^{199}Pt	۲۹	۲,۲۵۸۳	۱۰,۱۸۷۳۳	۰,۱۴۰۰۹	^{187}Rn	۲۳	۲,۶۲۱۲	۷,۲۵۱۵	-۰,۳۶۴۰۲
^{195}Au	۳۹	۱,۰۵۳	۹,۶۵۱۱۳	-۱,۰۸۹۲۲	^{114}Rn	۲۰	۲,۶۷۶۲	۵,۷۴۲۳۷	-۱,۰۰۰۴۳
^{196}Au	۶۵	۰,۹۹	۷,۷۶۹۸۱	-۳,۰۵۵۱۳	^{116}Rn	۲۹	۰,۱۷۳	۱۰,۷۷۷۹۳	-۱,۳۶۴۴۶
^{197}Au	۲۷	۱,۴۸۸	۶,۱۸۶۴۸	-۲,۴۰۱۲۵	^{110}Fr	۲۸	۰,۳۸۰۱	۲۱,۴۵۰۸۸	-۰,۷۴۰۱۵
^{198}Au	۱۱۷	۱,۹۱۷۶	۶,۹۰۱۱۲	-۳,۰۵۹۴۶	^{111}Ra	۱۹	۱,۴۹۹۵	۱۰,۲۸۴۸۲	۰,۲۴۰۹۸
^{199}Au	۳۷	۱,۸۰۱	۷,۶۱۹۱۳	-۱,۰۲۱۹	^{112}Ra	۴۱	۱,۸۳۸۴۹	۷,۱۶۷۷۶	-۱,۸۰۰۷۴
^{192}Hg	۲۵	۲,۰۹۷۷۸	۱۴,۲۱۲۴۱	۰,۵۸۳۲۸	^{113}Th	۳۰	۱,۲۰۰۰۴	۱۷,۰۵۳۰۱۹	-۰,۱۰۴۱
^{197}Hg	۳۱	۱,۱۱۸	۶,۳۶۰۰۸	-۲,۸۳۶۶۲	^{114}Th	۲۷	۱,۱۲۷۸۵	۱۶,۲۶۵۲۲	-۰,۲۵۲۹۹
^{198}Hg	۶۲	۲,۶۱۲۶	۹,۷۲۰۰۵۶	-۰,۳۱۸۲۳	^{115}Th	۳۶	۱,۲۵۸۷	۲۰,۳۷۷۷۳	۰,۰۵۲۲۸
^{199}Hg	۱۷	۰,۱۲۳۸۸	۱۸,۶۹۷۹۳	-۰,۲۰۰۵۵	^{116}Th	۶۴	۰,۱۷۳۷	۹,۷۹۷۹۳	-۲,۲۴۵۲۸
^{190}Hg	۵۲	۲,۰۵۲۲۱	۱۰,۴۷۰۴۹	-۰,۱۱۱۳	^{117}U	۳۵	۰,۷۱۷	۱۳,۹۷۶۷	-۱,۱۷۰۹۶
^{191}Hg	۴۹	۲,۴۲۸	۷,۳۸۶۰۳	-۱,۳۰۰۰۸۴	^{118}U	۲۳	۱,۳۴۱۳	۲۰,۰۸۴۰۹	۰,۰۶۴۸۱
^{192}Hg	۳۲	۲,۷۷۴۷	۸,۹۹۵۴۸	۰,۰۴۴۷۳	^{119}U	۸۵	۰,۹۶۸۴۰	۱۲,۲۲۹۰۷	-۱,۰۳۳۱۸۹
^{197}Tl	۳۱	۲,۱۱۴۳۸	۱۰,۷۳۲۷۷	-۰,۰۲۰۲۸	^{120}U	۵۳	۱,۴۷۱۷	۱۷,۰۲۰۱	-۰,۱۲۶۳۵
^{199}Tl	۳۰	۲,۰۸۰۹	۱۱,۶۷۸۰۳	۰,۱۰۴	^{117}U	۵۱	۰,۹۲۰۶	۱۰,۲۹۷۲۴	-۱,۸۰۱۰۸
^{201}Tl	۳۸	۲,۱۶	۶,۴۲۸۸۸	-۱,۹۳۳۴۹	^{121}U	۴۲	۱,۴۱۰۳	۱۰,۸۱۹۵۴	-۰,۲۱۷۳۵
^{202}Tl	۴۸	۲,۰۳۷۹	۹,۳۹۴۷۵	-۰,۸۵۲۲۳	^{118}U	۴۷	۱,۰۶۶۸۲	۱۳,۷۳۷۰۹	-۰,۹۱۳۲۳
^{205}Tl	۳۲	۲,۱۲۴۰۶	۸,۷۹۱۱۴	-۰,۰۵۴۴	^{119}Pu	۲۵	۱,۲۶۴۲	۱۶,۳۵۳۹۵	-۰,۰۷۹۳
^{206}Tl	۲۴	۱,۸۵	۱۰,۰۹۴۱۸	-۰,۵۰۳۹۳	^{119}Pu	۴۶	۰,۹۹	۹,۴۰۰۷۷	-۰,۰۲۹۶۲
^{207}Tl	۱۷	۳,۴۷۴	۸,۲۲۳۸۲	۱,۲۹۱۸۲	^{120}Pu	۴۱	۱,۴۳۸۴۰	۱۰,۲۰۴۶۲	-۰,۲۵۴۰۸
^{208}Pb	۲۰	۲,۳۸۶۸۲	۷,۸۱۸۹	-۰,۳۶۹۱۴	^{119}Pu	۲۱	۱,۱۸۱۶	۱۹,۰۵۰۲	۰,۱۲۹۱۲
^{209}Pb	۵۱	۲,۷۶۶۸۱	۷,۹۰۵۶۷	-۰,۷۵۲۱۵	^{121}Pu	۳۷	۰,۹۸۱	۹,۹۰۹۲۳	-۱,۷۰۰۵۵
^{205}Pb	۳۱	۱,۹۶۰۹۸	۱۰,۱۰۱۹۳	-۰,۳۵۰۰۳	^{122}Pu	۱۷	۰,۸۰۲	۹,۳۷۶۲۵	-۱,۰۸۲۱۳
^{206}Pb	۴۲	۳,۴۸۳۳	۵,۹۱۸۴۷	-۰,۱۶۰۹۴	^{117}Am	۳۰	۰,۴۲۸۷	۱۰,۱۸۴۲۴	-۲,۱۰۸۹۲
^{207}Pb	۵۸	۴,۴۲۲	۷,۶۸۸۸۲	۰,۸۶۹۶۷	^{123}Cm	۵۷	۱,۰۰۵۶	۱۰,۷۰۹۰۶	-۱,۰۸۰۵۲۲
^{208}Pb	۹۵	۰,۰۶۵	۶,۷۷۴۶۹	۰,۹۰۷۷۹	^{118}Cm	۳۵	۱,۰۲۰۹۳	۱۰,۷۷۱	-۰,۰۵۹۰۷
^{209}Pb	۱۸۲	۴,۹۸۵	۸,۲۰۹۵	۰,۰۹۰۰۸	^{119}Cm	۲۴	۱,۴۸۲	۱۰,۶۷۶۸۲	۰,۱۰۰۰۳
^{210}Pb	۲۹	۲,۴۶	۰,۰۳۲۶۷	-۰,۷۲۸۲	^{120}Cf	۳۳	۱,۴۷۸۳۸	۱۷,۷۸۳۲۵	۰,۱۲۳



شکل ۱. نمودارهای تجربی تعداد تراز بر حسب انرژی، برآورده شده با رابطه (۱۶). a بر حسب MeV^{-1} و E_1 بر حسب MeV است.



شکل ۲. نمودار پارامتر چگالی تراز بر حسب عدد جرمی (A) تفکیک شده برای هسته‌های زوج-زوج، A -فرد و فرد-فرد.



شکل ۳ نمودار $\frac{\sqrt{a}}{A}$ بر حسب $A^{0.8}$. خط ممتد از رابطه $a = A^{(0.105)} e^{\frac{-A^{0.11}}{0.15}}$ پیروی می‌کند.

10. A Gilbert and A G W Cameron, *Can. J. Phys.* **43** (1965) 1446.
11. N Cerf, *Phys. Rev. C* **49** (1994) 852.
12. I Dioszegi, I Mazumdar, and N P Shaw, *Phys. Rev. C* **63** (2001) 047601.
13. T V Egidy and D Bucurescu, *Phys. Rev. C* **72** (2005) 044311.
14. A N Behkami, Z Kargar, and N Nasrabadi, *Phys. Rev. C* **66** (2002) 064307.
15. RIPL-2 database: <http://www.nds.iaea.org>
16. T V Egidy, H H Schmidt, and A N Behkami, *Nucl. Phys. A* **481** (1988) 189.

1. D Mocelj *et al.*, *Phys. Rev. C* **75** (2007) 045805.
2. A V Ignatyuk, “Statistical properties of excited atomic nuclei”, Energoatomizdat, Moscow (1983).
3. T Rauscher, F K Thielemann, and K L Kratz, *Phys. Rev. C* **56** (1997) 1613.
4. T V Egidy and D Bucurescu, *Phys. Rev. C* **72** (2005) 044311.
5. T Ericson, *Adv. Phys.* **9** (1960) 425.
6. B Pichon, *Nucl. Phys. A* **568** (1994) 553.
7. A S Iljinov, M V Mebel, and N Bianchi, *Nucl. Phys. A* **543** (1992) 517.
8. T D Newton, *Can. J. Phys.* **34** (1956) 804.
9. A G W Cameron, *Can. J. Phys.* **36** (1958) 1040.